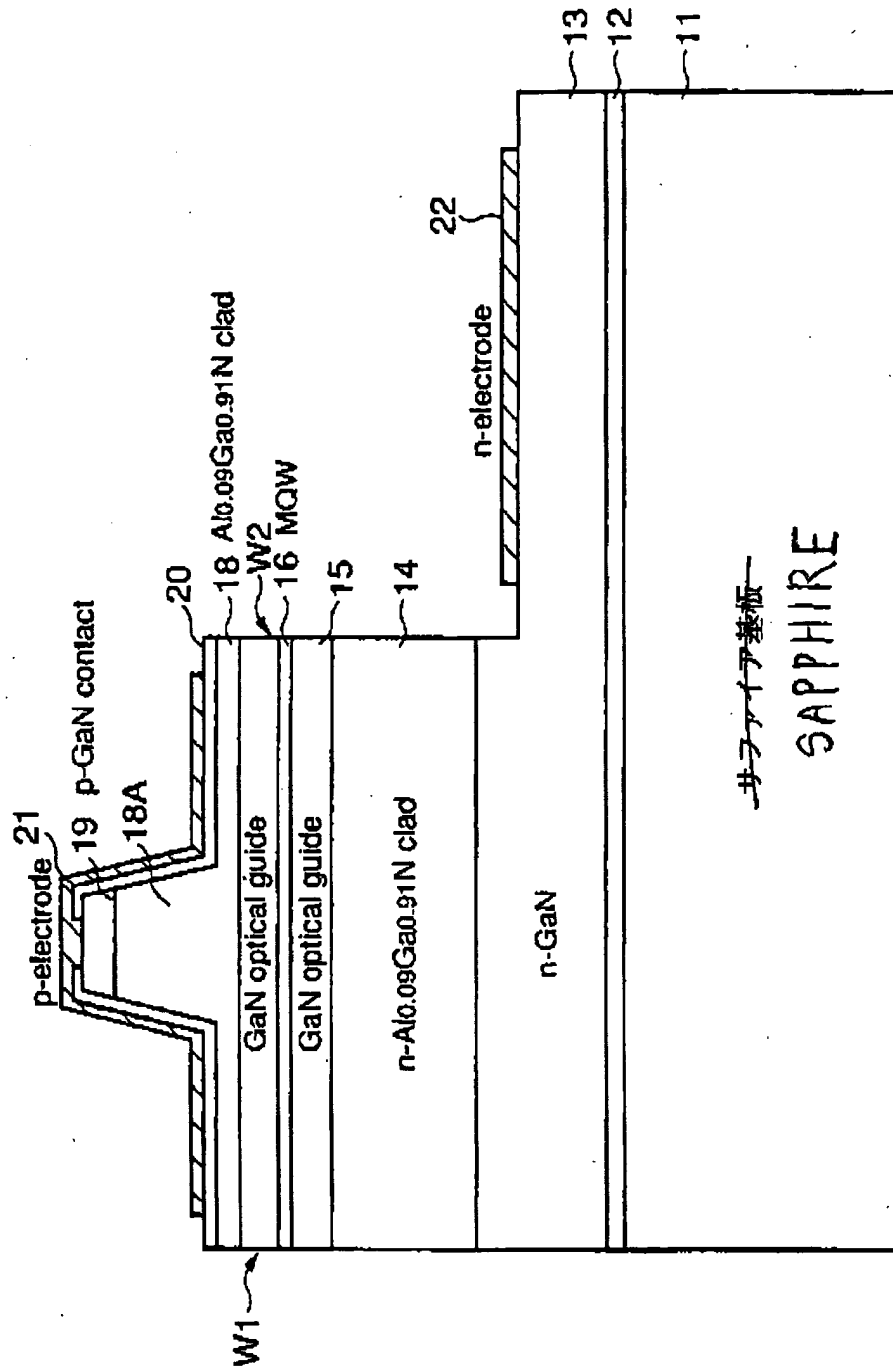


【書類名】 図面

【図1】

従来の青色レーザダイオードの構成を示す図

TIGA PRIOR ART



【図2】

(A),(B)は、本発明の第1実施例の基礎となる実験で使われた試料、および実験結果を示す図

FIG 2A (A)

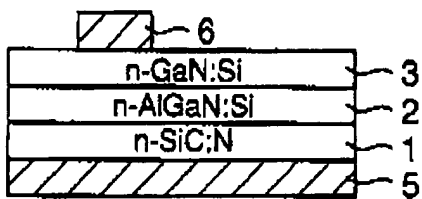
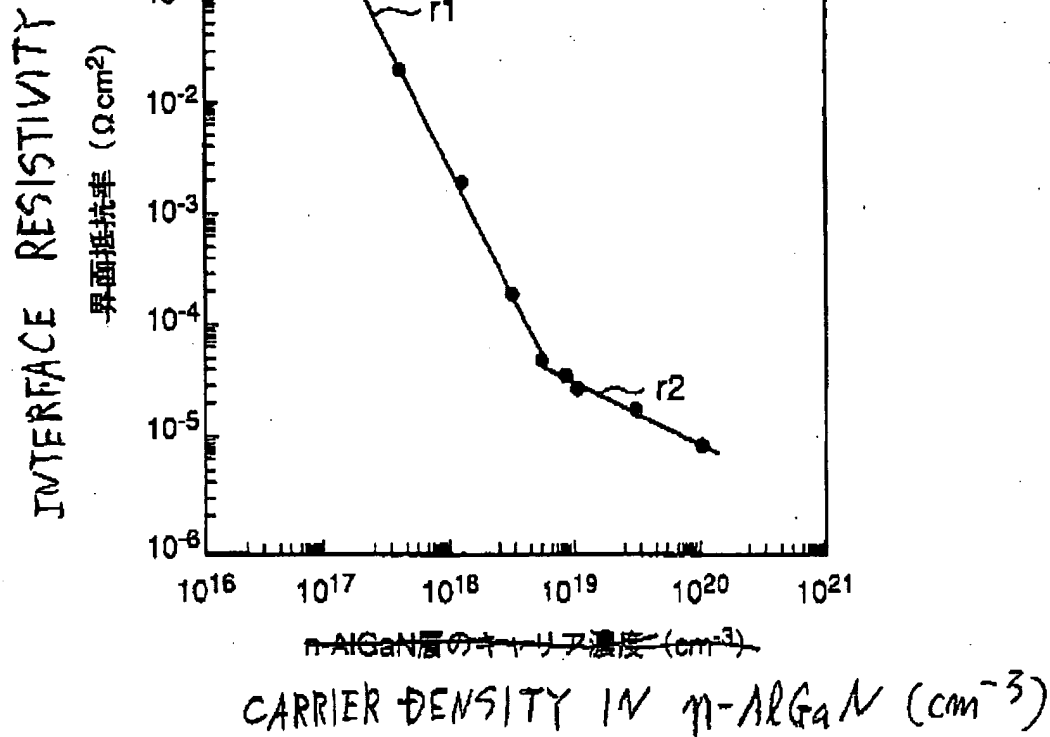


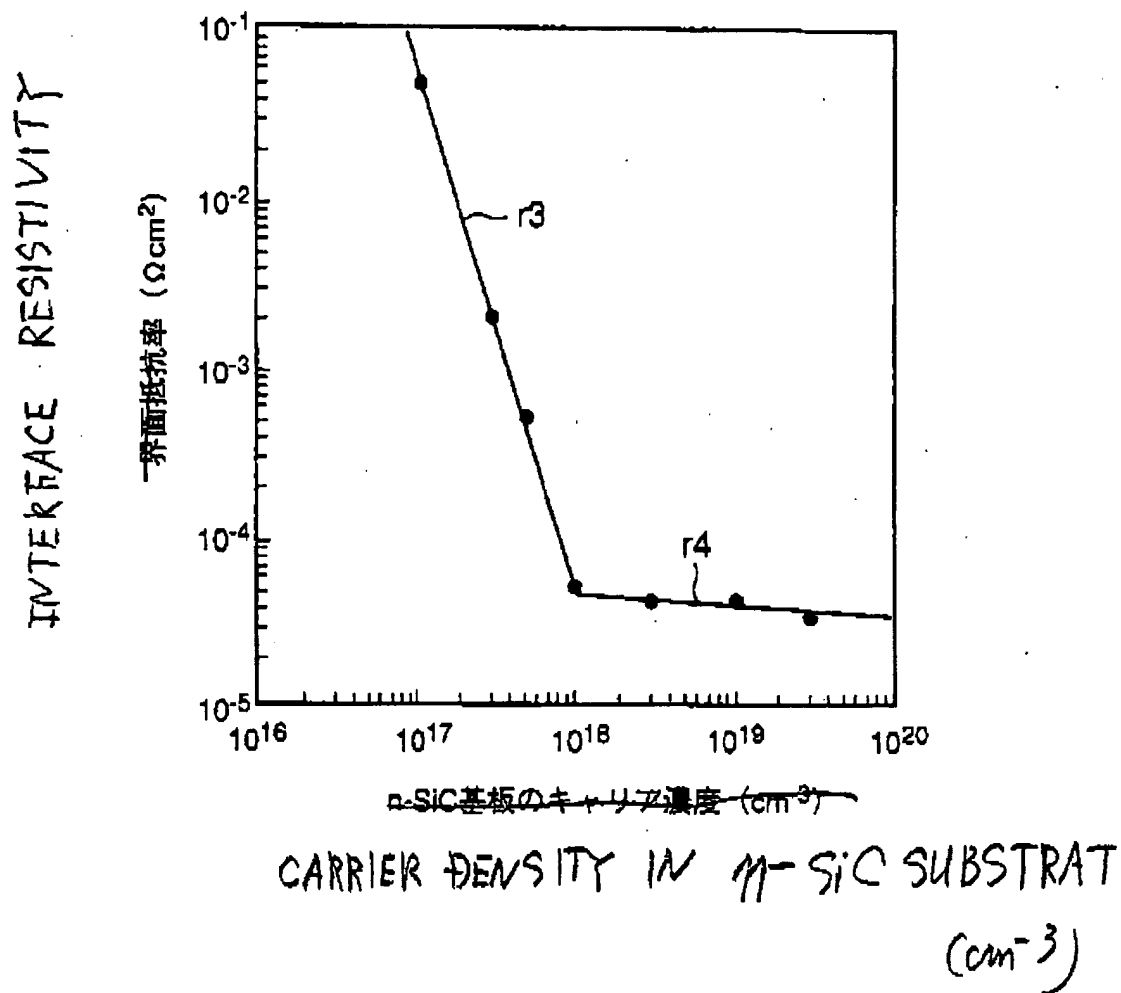
FIG 2B



【図3】

FIG 3

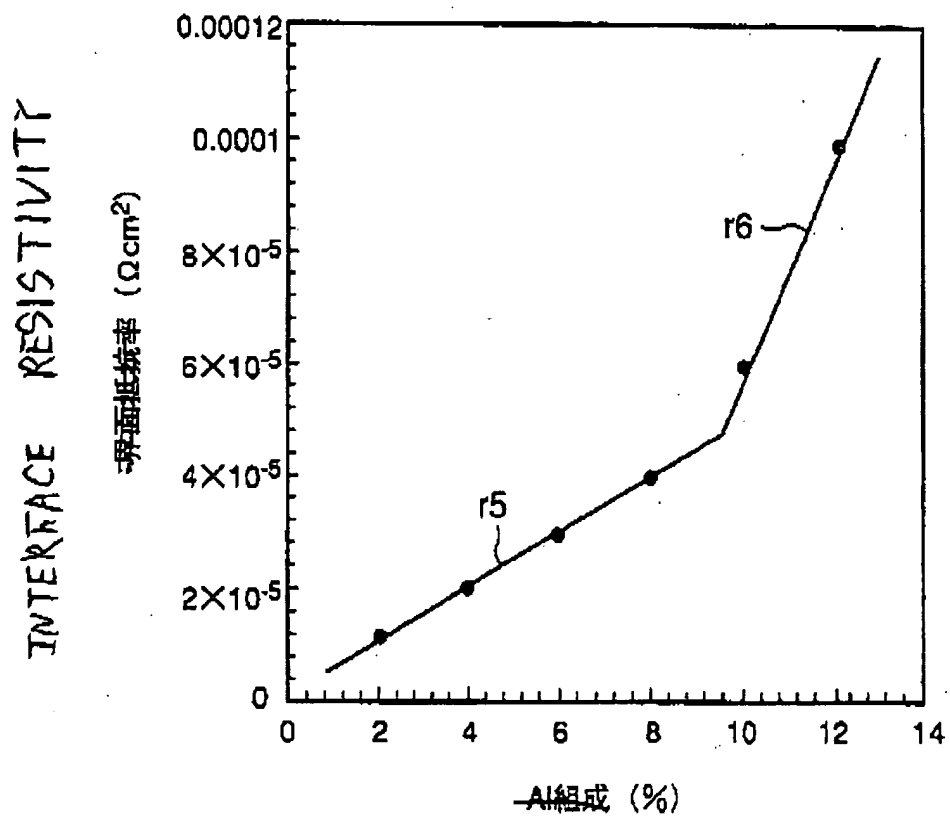
本発明第1実施例の基礎となる実験の別の結果を示す図



【図4】

FIG 4

本発明第1実施例の基礎となる実験の別の結果を示す図

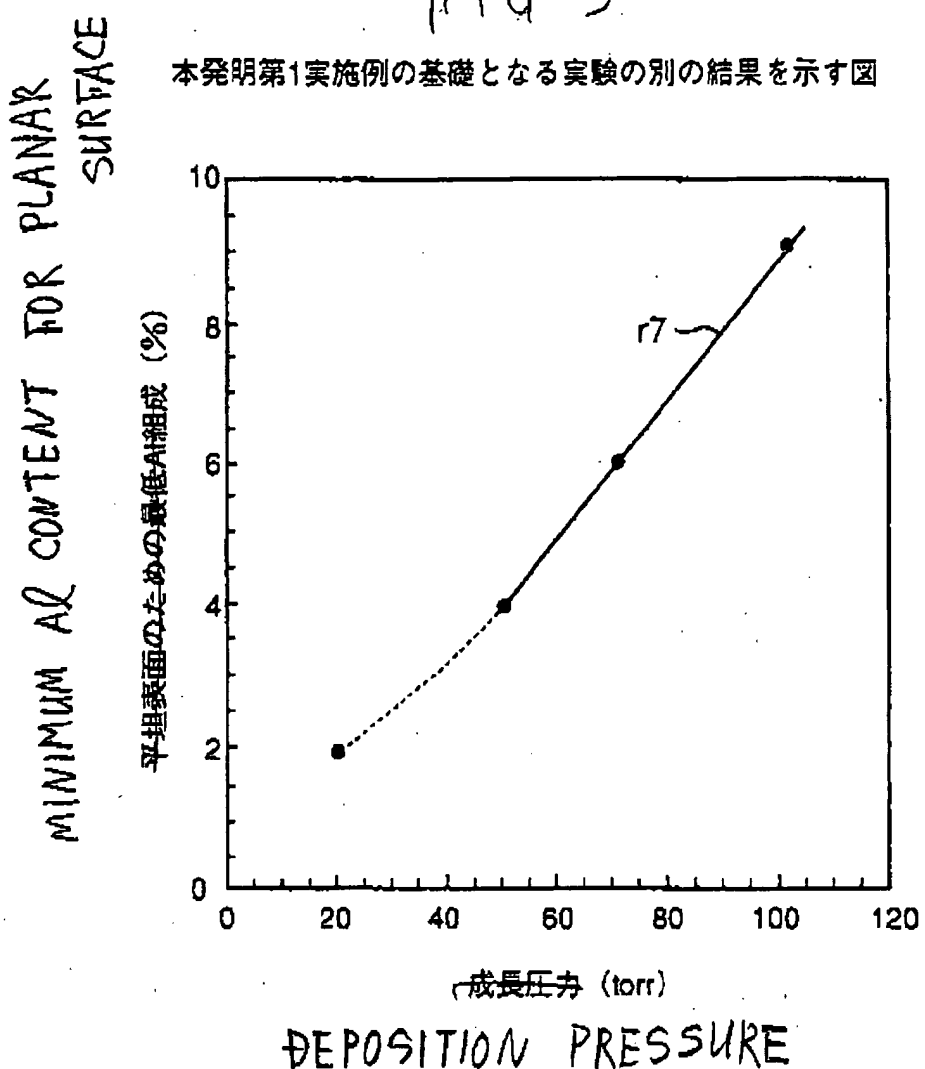


Al CONTENT

【図5】

FIG 5

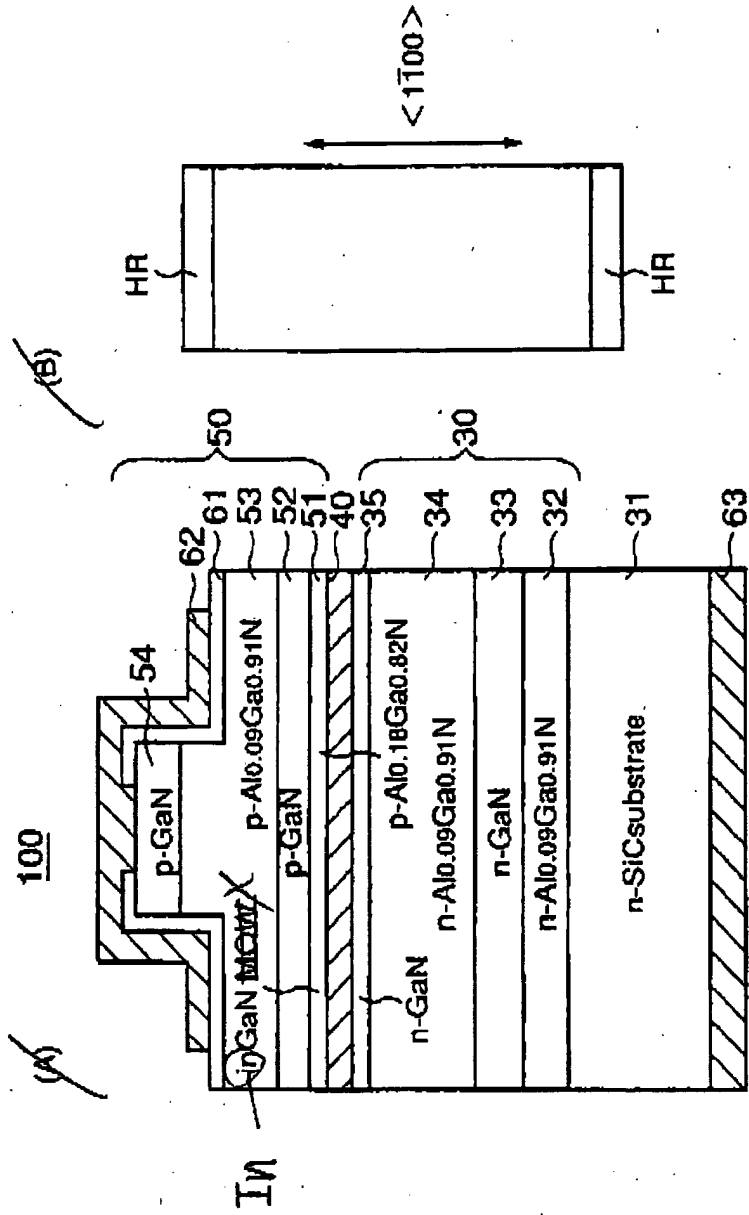
本発明第1実施例の基礎となる実験の別の結果を示す図



【図6】

(A),(B)は、本発明の第1実施例によるレーザダイオードの構成を示す図

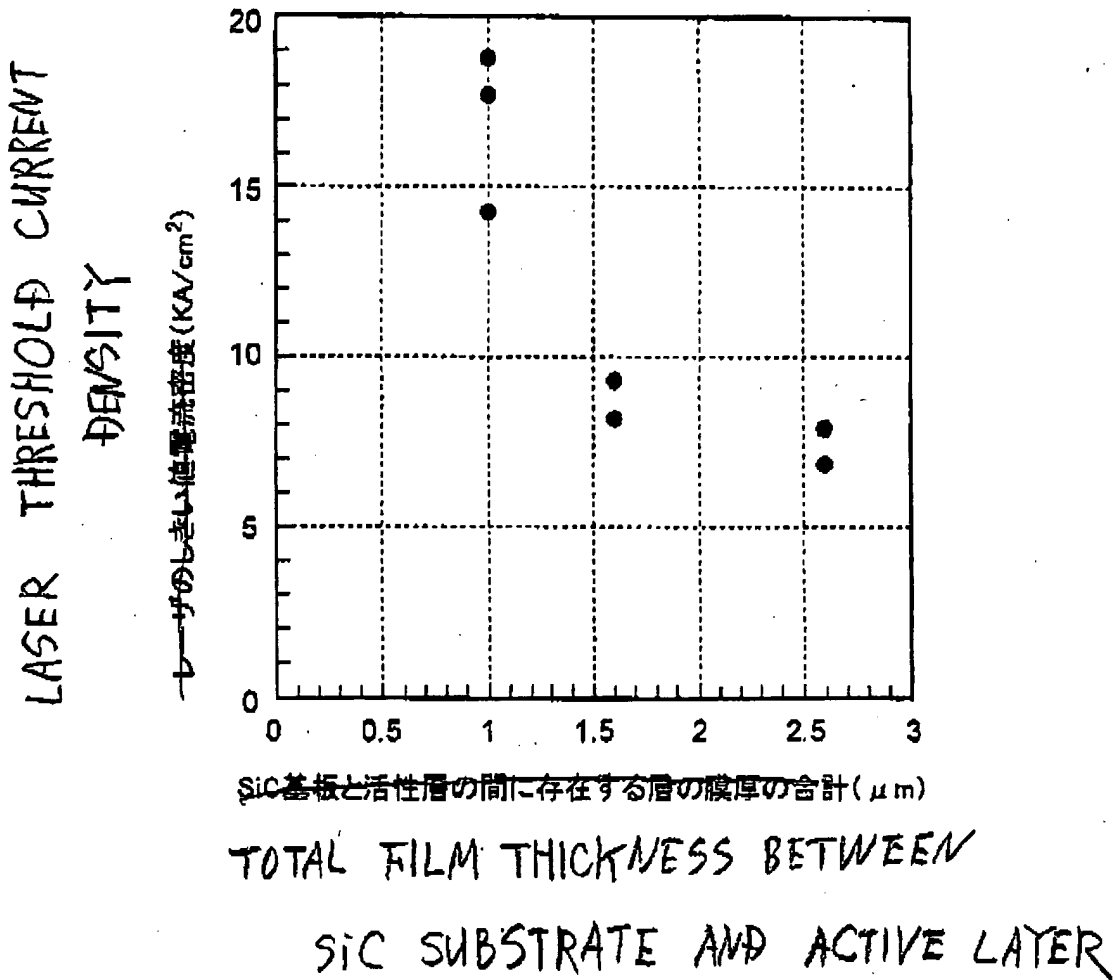
FIG6A
FIG6B



【図7】

FIG 7

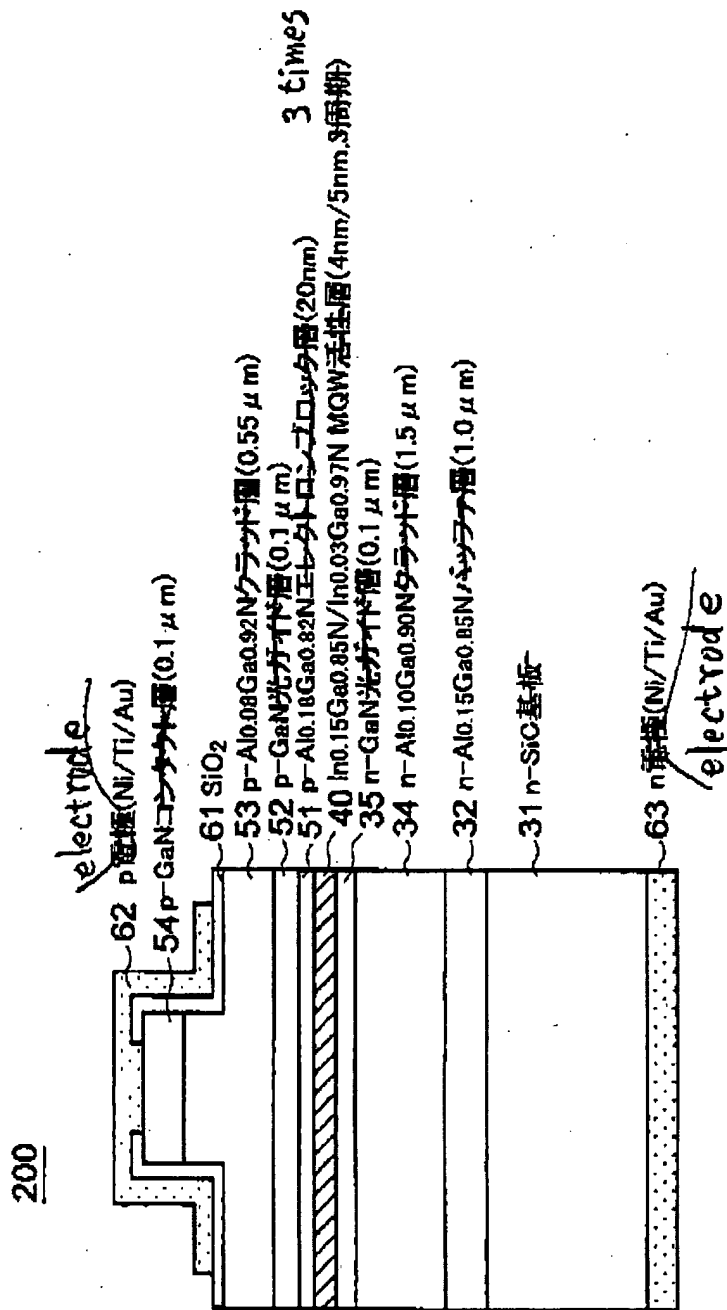
本発明の第2実施例の基礎となる実験の結果を示す図



【図8】

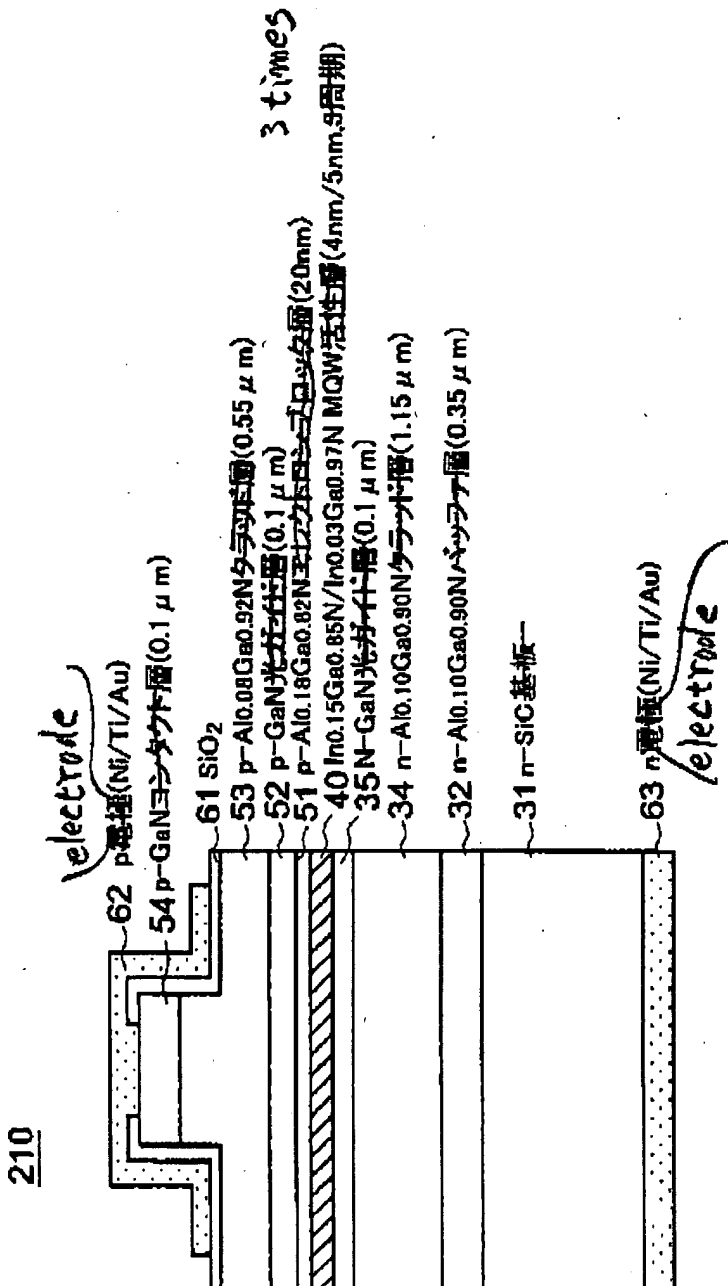
本発明の第2実施例によるレーザダイオードの構成を示す図

Fig. 8



【図9】

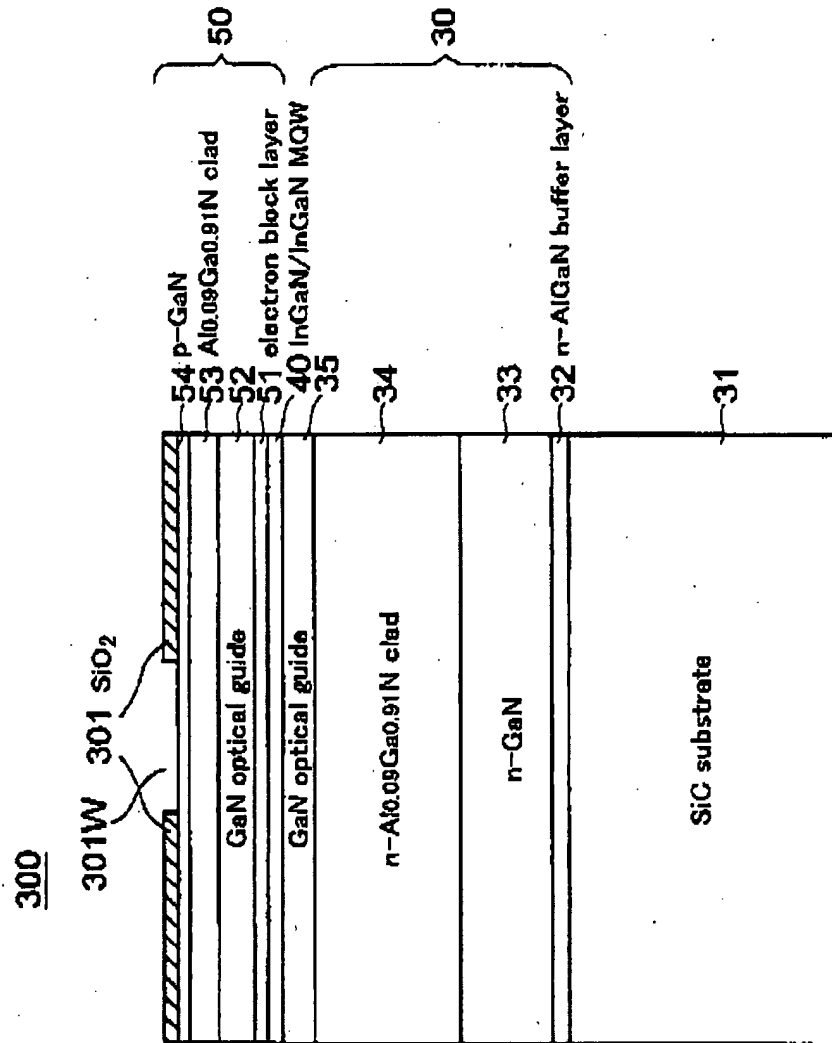
図8のレーザダイオードの一変形例を示す図



【図10】

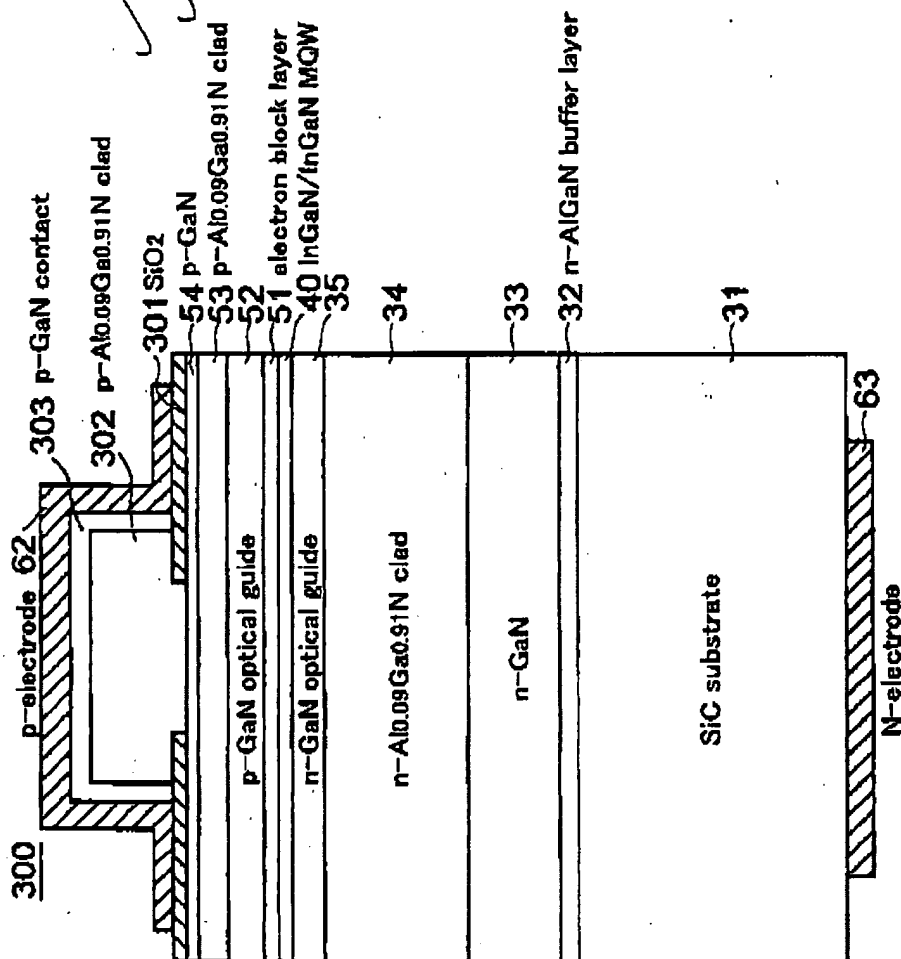
(A)は、本発明の第3実施例によるレーザダイオードの製造工程を示す図(その1)

FIG 10 A



【図11】

(B)は、本発明の第3実施例によるレーザダイオードの製造工程を示す図(その2)

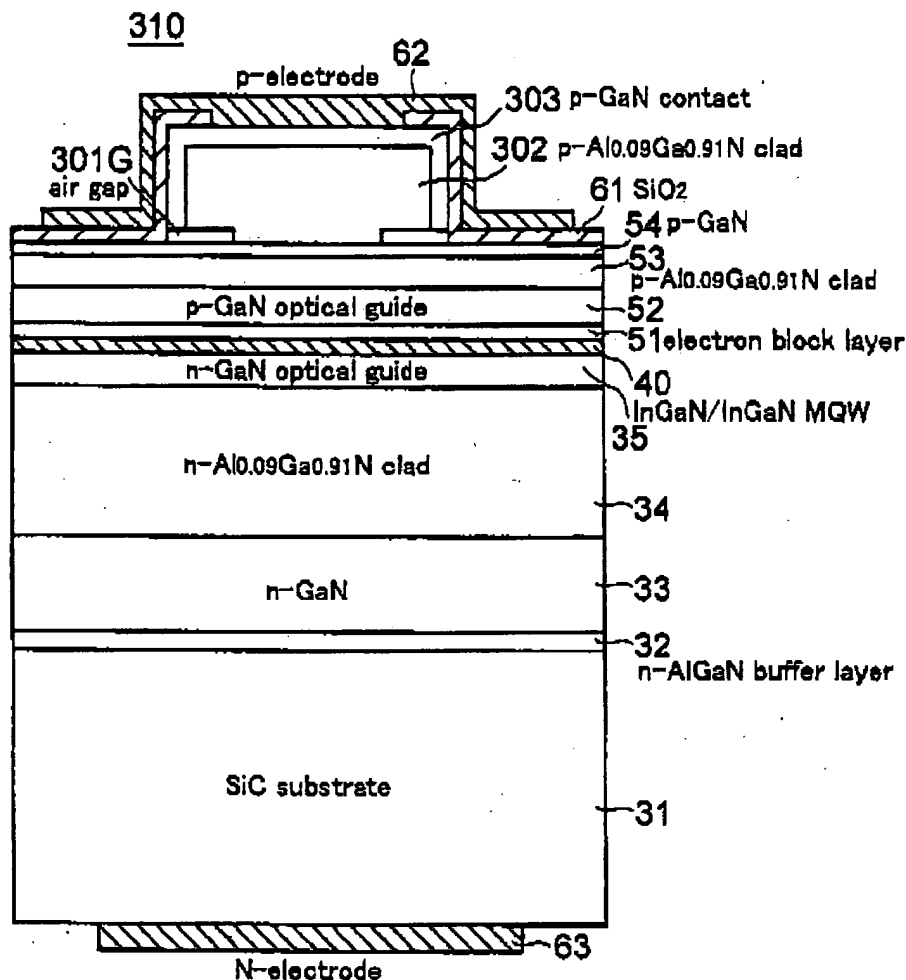


(B)

【図12】

FIG 11

本発明第3実施例によるレーザダイオードの一変形例を示す図



【図13】

(A),(B)は、本発明第3実施例の選択成長工程で使われるマスク、および本発明第4実施例の選択成長工程で使われるマスクを示す図

FIG12A

(A)

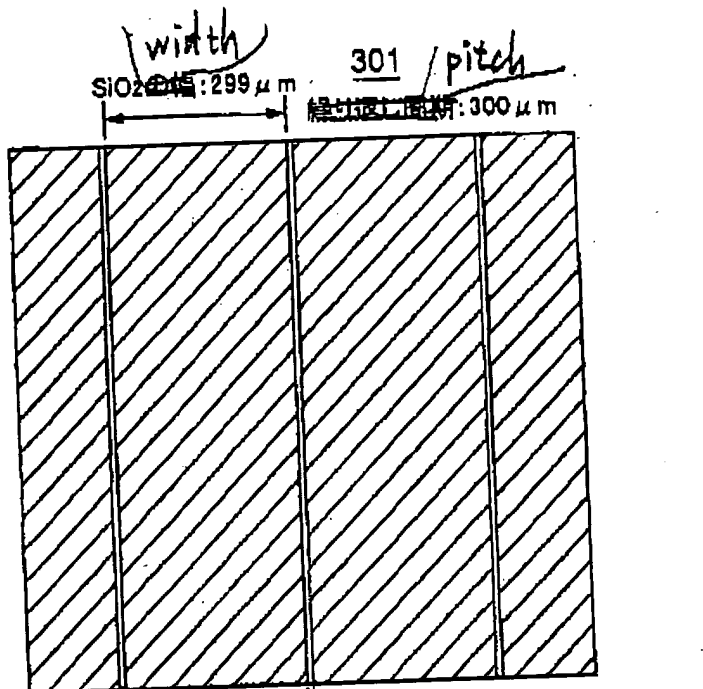
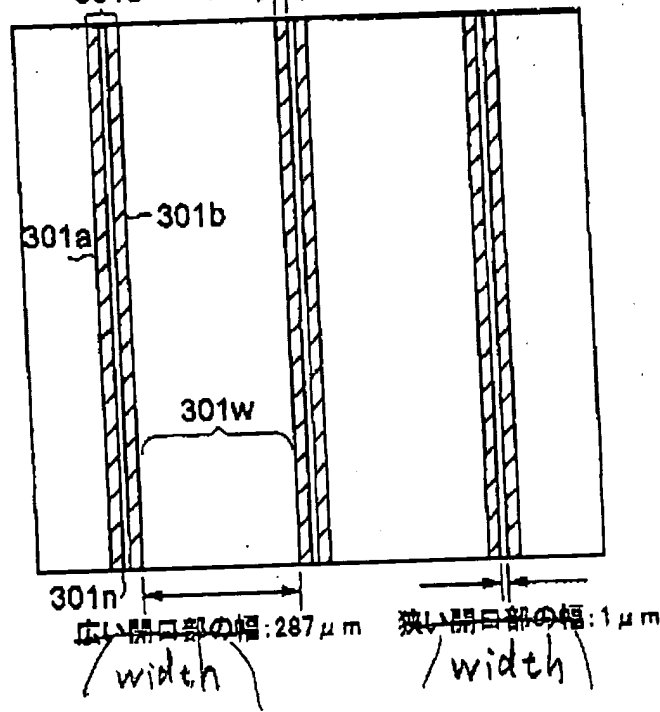


FIG12B

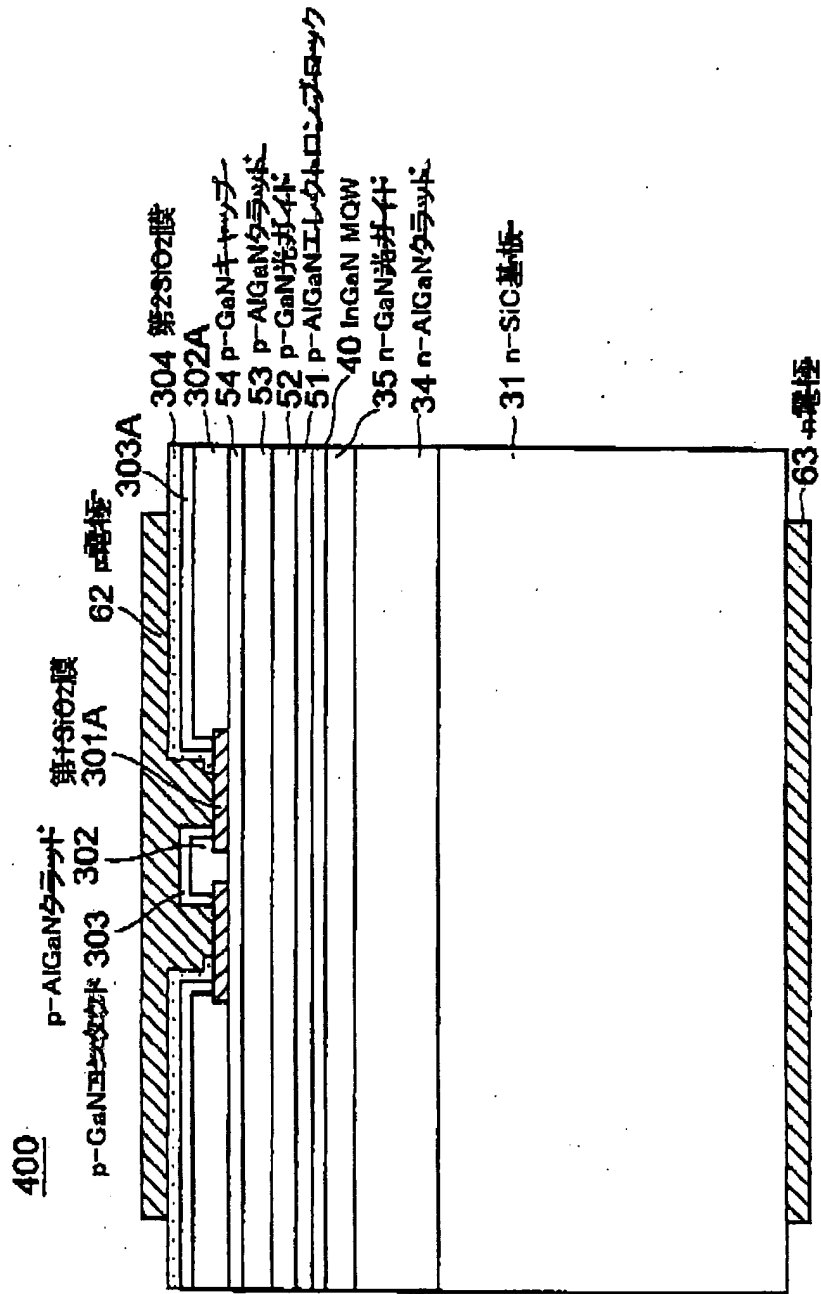
(B)



【図14】

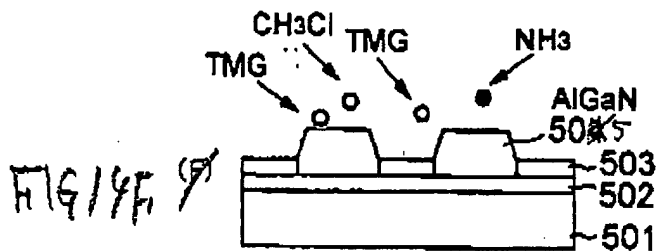
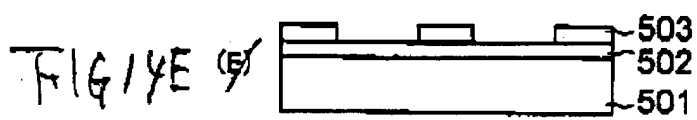
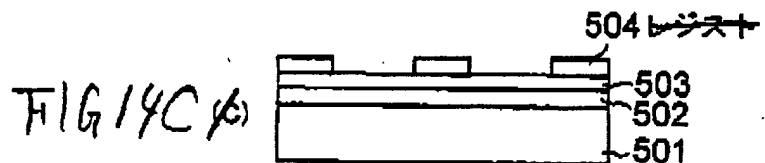
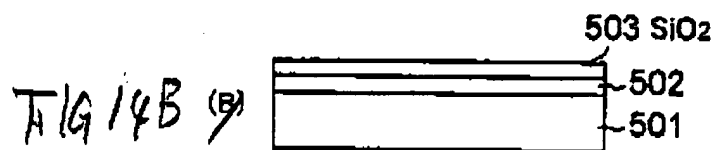
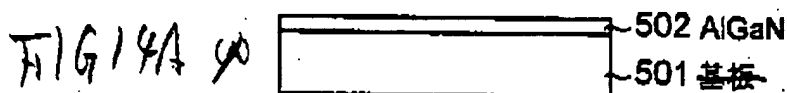
本発明の第4実施例によるレーザダイオードの構成を示す図

H1613



【図15】

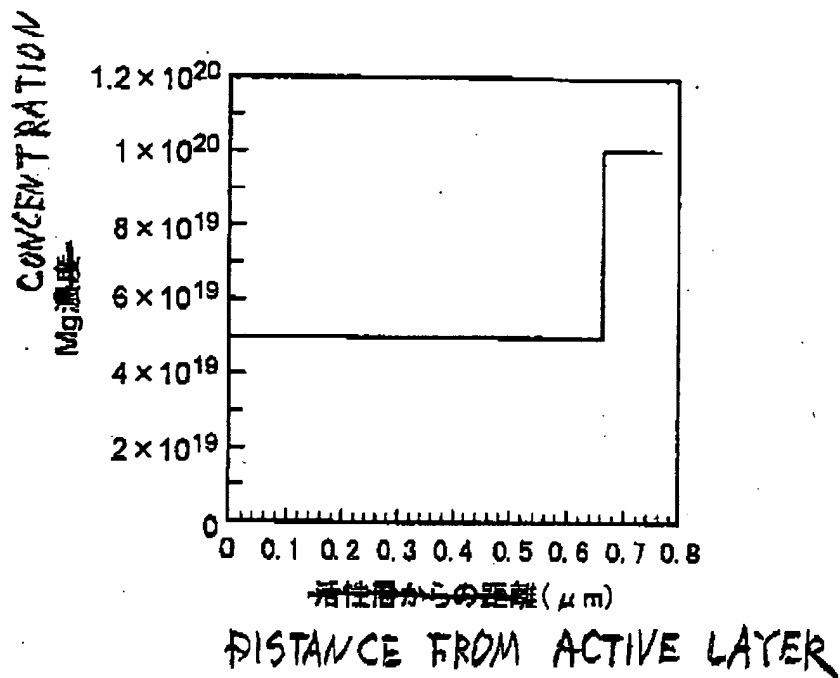
(A)~(F)は、本発明の第5実施例による選択成長工程を示す図



【図16】

FIG 15 PRIOR ART

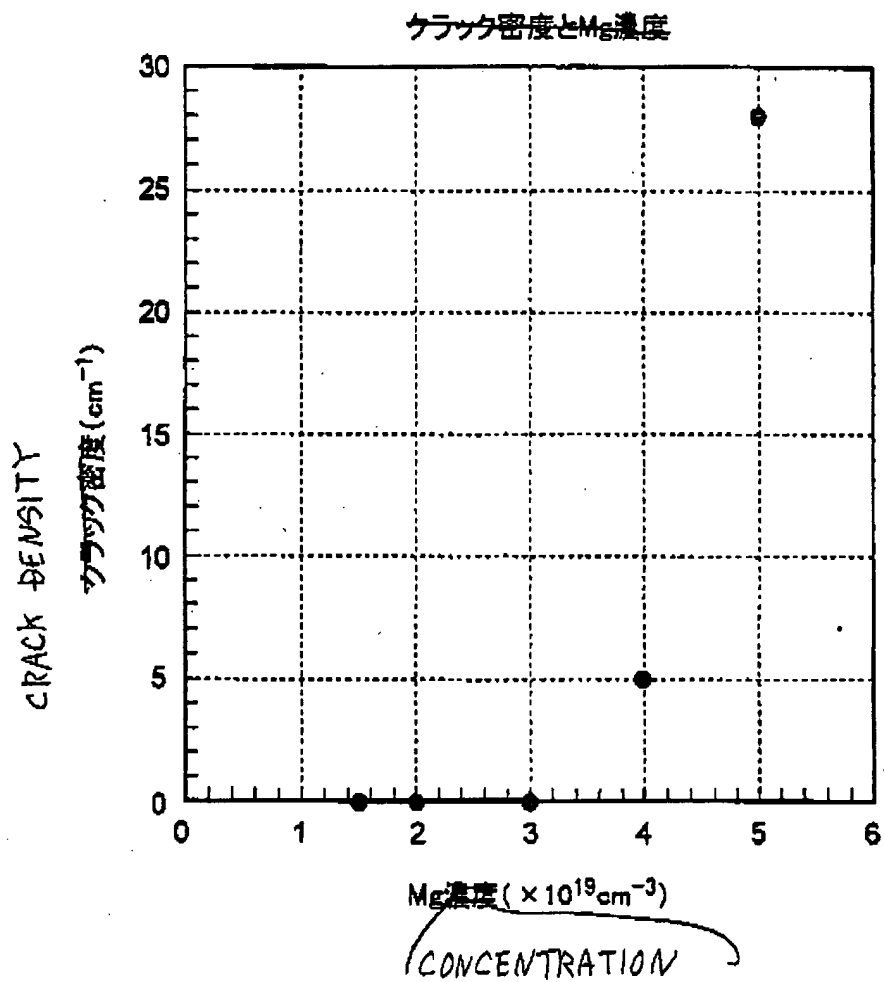
従来の青色レーザダイオードにおけるp型エピタキシャル層中の不純物分布を示す図



【図17】

FIG 16

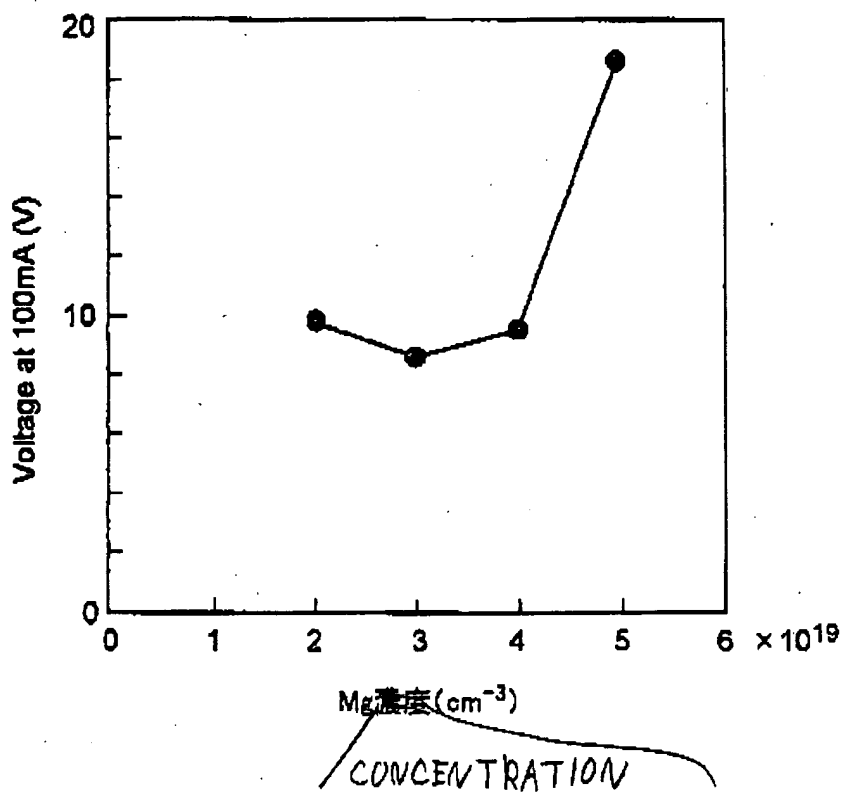
本発明の第6実施例の基礎となる実験結果を示す図



【図18】

FIG 17

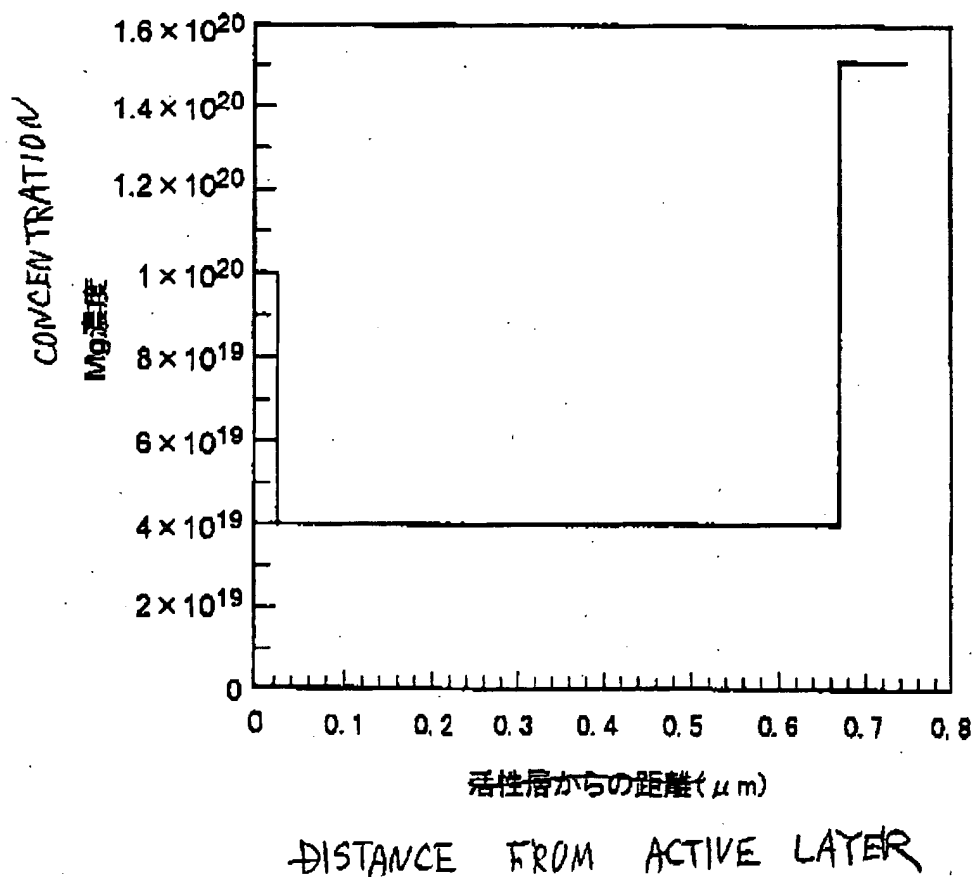
本発明第6実施例の基礎となる実験結果を示す別の図



【図19】

FIG 18

本発明の第6実施例によるレーザダイオードで使われる
不純物分布を示す図



【図20】

FIG 9

図19の一変形例による不純物分布を示す図

